

QCD for Collider Physics I

2005. 4.14

LHC 実験解析のために QCD の基礎知識が不可欠であることを、まず感じていただくために、次の DØ 論文を紹介いたします。

Measurement of the top quark mass in all-jet events

DØ Collaboration

Abstract

We describe a measurement of the mass of the top quark from the purely hadronic decay modes of $t\bar{t}$ pairs using all-jet data produced in $p\bar{p}$ collisions at $\sqrt{s} = 1.8$ TeV at the Fermilab Tevatron Collider. The data, which correspond to an integrated luminosity of $110.2 \pm 5.8 \text{ pb}^{-1}$, were collected with the DØ detector from 1992 to 1996. We find a top quark mass of $178.5 \pm 13.7(\text{stat}) \pm 7.7(\text{syst}) \text{ GeV}/c^2$.

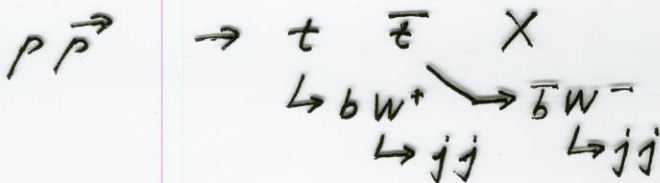
© 2004 Elsevier B.V. All rights reserved.

PACS: 12.38.-t; 14.65.Ha

Keywords: Top quark

Phys. Lett. B606, 25 (2005)

Tevatron Run I ($\sqrt{s} = 1.8 \text{ TeV}$, $L = 110 \text{ pb}^{-1}$) で



のシグナルを ≥ 6 jet events 中で求め、 m_t を測定した論文です。

$$m_t = 178.5 \pm 13.7 \pm 7.7 \text{ GeV}$$

中心値

sys

↑ 系統

p. 25~27 に系統エラー
についての説明を
加えました。

が答えですか。「中心値」と「~~統計~~エラー」が信頼できるか？

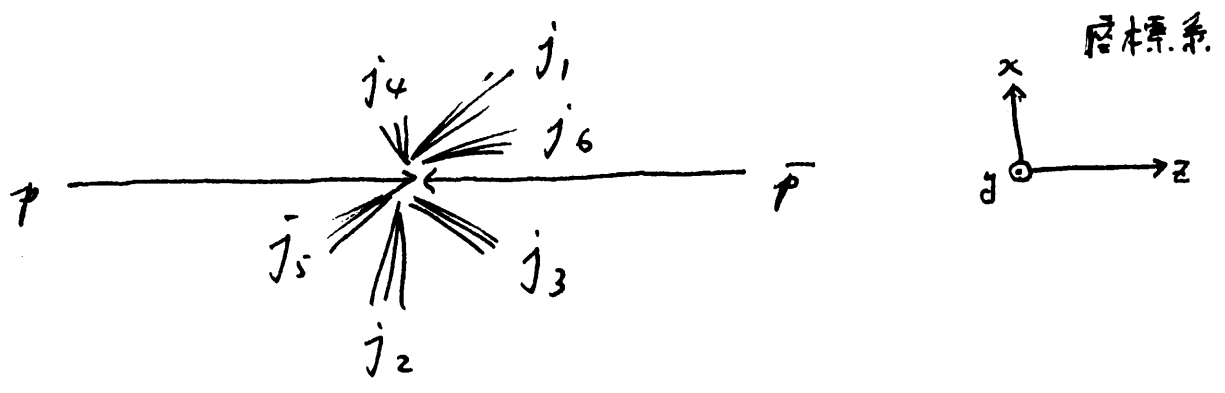
が第一の問題です。

次に、Teratronの経験をLHCに外挿するとき、

QCDの基礎が必要であることを見たと思います。

このDØの論文は、^{次回までに}全員が読んで下さい。10回の講義が
終わるころにもう一度読んで、自分で考えていたきたいと思
います。

DØ論文はまず「ジェット」の定義から始まります。



ハドロン分布から出発して、同じ「向き」の momentum を
足してハドロンクラスター（ジェット）を作るので、「向きの近さ」を

$$R = \sqrt{(\Delta\eta)^2 + (\Delta\phi)^2}$$

で定義し、 $R < 0.3$ のものは全て「クラスター」にします。

ϕ は azimuthal 角, η は pseudo-rapidity です。

[Lorentz boost & rapidity]

$$P^\mu = (E, p_x, p_y, p_z), \quad p_T = \sqrt{p_x^2 + p_y^2}, \quad p^2 = E^2 - p_T^2 = m^2$$

に於て rapidity は
$$y = \frac{1}{2} \ln \frac{E + p_z}{E - p_z}$$

z 方向の boost
$$\begin{pmatrix} E' \\ p_z' \end{pmatrix} = \gamma \begin{pmatrix} 1 & \beta \\ \beta & 1 \end{pmatrix} \begin{pmatrix} E \\ p_z \end{pmatrix} = \gamma \begin{pmatrix} E + \beta p_z \\ \beta E + p_z \end{pmatrix}$$

のとき
$$\begin{aligned} y \rightarrow y' &= \frac{1}{2} \ln \frac{E' + p_z'}{E' - p_z'} = \frac{1}{2} \ln \frac{(1+\beta)(E + p_z)}{(1-\beta)(E - p_z)} \\ &= \frac{1}{2} \ln \frac{E + p_z}{E - p_z} + \frac{1}{2} \ln \frac{1+\beta}{1-\beta} \\ &= y + \Delta \end{aligned}$$

boost は y の平行移動に似ています。

$$\Delta y = y_1 - y_2$$

は boost 不変量です。覚えておくと良い式

$$\begin{cases} E = \sqrt{m^2 + p_T^2} \cosh y \\ p_z = \sqrt{m^2 + p_T^2} \sinh y \end{cases}$$

$$\Rightarrow E^2 - p_z^2 = (m^2 + p_T^2) (\cosh^2 y - \sinh^2 y) = m^2 + p_T^2$$

$m=0$ のとき
$$y = \frac{1}{2} \ln \frac{1 + \cos \theta}{1 - \cos \theta} = \frac{1}{2} \ln \frac{\cos^2 \frac{\theta}{2}}{\sin^2 \frac{\theta}{2}} = -\ln \tan \frac{\theta}{2}$$

$m \neq 0$ のとき
$$y = \frac{1}{2} \ln \frac{1 + \cos \theta}{1 - \cos \theta} = -\ln \tan \frac{\theta}{2} \quad \text{を pseudo-rapidity と呼ぶ。}$$

任意の11ドロン又はクラスター \vec{P} の組み $\{\vec{P}_i, \vec{P}_j\}$ について

$$R_{ij} = \sqrt{(\eta_i - \eta_j)^2 + (\phi_i - \phi_j)^2} < R = 0.3$$

なるは $\vec{P}_i + \vec{P}_j = \vec{P}_{ij}$ とし 全ての R_{ij} が $R_{ij} \geq R$ となる
まで続けると、クラスターとクラスターの向きが最低でも $R (= 0.3)$

だけ離れたクラスターのセットができます。このときできたクラスター

の momentum が

$$\begin{cases} E_T = \sqrt{m^2 + p_T^2} > 10 \text{ GeV} \\ |\eta| < 2.5 \end{cases}$$

を満たすものを、ジレットと呼びます。DØ は

$$\geq 6 \text{ ジレット 事象} \quad 165,377 \quad \left(\frac{S}{N} \sim \frac{1}{1000} \right)$$

次に、少なくとも1ジレットが $(b \rightarrow \mu)$ シグナルをもつことを要求

$$\underline{b \rightarrow \mu} \rightarrow 3,043 \quad \left(\frac{S}{N} \sim \frac{1}{100} \right) \quad \begin{array}{l} S: 20\% \\ N: 2\% \end{array}$$

この3,043 events を用いて、 m_t を決めるのがどうか、 $S/N = 1/100$

ではどうにもなりません。まず

$$E_{T1} > E_{T2} > \dots > E_{T6} > \dots$$

として、6-ジレットを選ぶ、それに対して84の観測量の分布

を計算し、 S と N の分布を比較する。

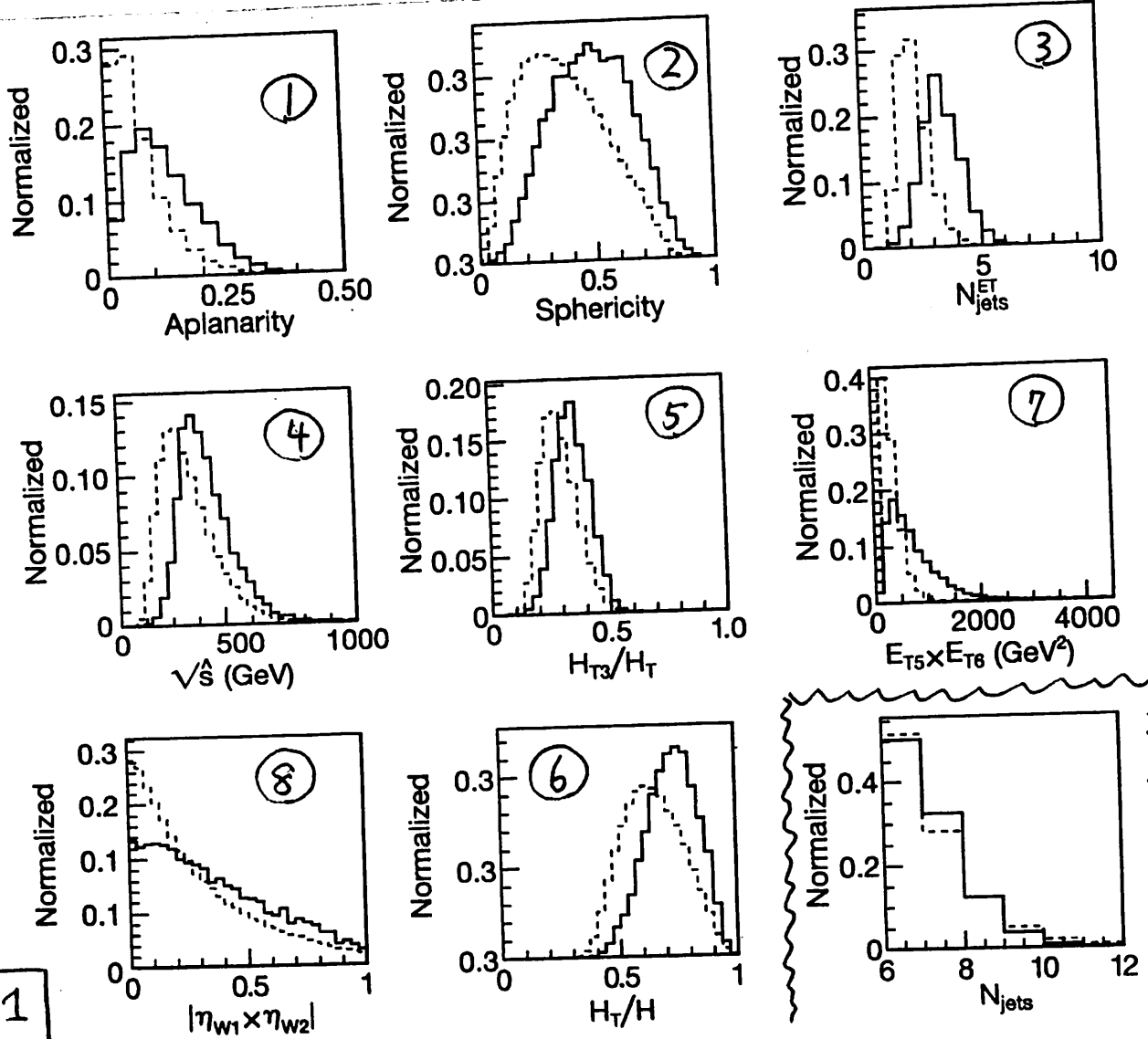


Fig. 1

- ① Aplanarity } $M_{ij} = \sum_{k=1}^n (P_k)_i (P_k)_j = \mathcal{O} \begin{pmatrix} \lambda_1 & & \\ & \lambda_2 & \\ & & \lambda_3 \end{pmatrix} \mathcal{O}^T$
 ② Sphericity } $i, j = x, y, z$ $\lambda_1 < \lambda_2 < \lambda_3$
- ③ $N_{jet}^{ET} = \# \text{ of jets with } E_T^{jet} > E_T$
- ④ $\sqrt{s} = \left[\left(\sum_{i=1}^6 p_i^{jet} \right)^2 \right]^{1/2}$: invariant mass of 6-jets
- ⑤ H_{T3}/H_T } $H_T = \sum_j E_T^j$, $H_{T3} = H_T - E_{T1} - E_{T2}$, $H = \sum_j E_j$
 ⑥ H_T/H
- ⑦ $E_{T5} \cdot E_{T6}$: product of two smallest E_T 's
- ⑧ $|\eta_{W1} \cdot \eta_{W2}|$: product of two η 's of W candidates
- $A = \frac{3}{2} \frac{\lambda_1}{\lambda_1 + \lambda_2 + \lambda_3} \xrightarrow{\text{planar}} 0$
 $S = \frac{3}{2} \frac{\lambda_1 + \lambda_2}{\lambda_1 + \lambda_2 + \lambda_3} \xrightarrow{\text{collinear}} 0$

これは
使わ
ない。

In Fig. 1, $\left\{ \begin{array}{l} \text{—————} \text{ Signal (} t\bar{t}\text{) expectation by MC} \\ \text{-----} \text{ Noise (background) constructed by Data} \end{array} \right.$

* $t\bar{t} \rightarrow 6 \text{ jet } \geq 7$ 以上の方は, MC が (少しは) 信用できると仮定する.

* background ($pp \rightarrow \geq 6 \text{ jets}$) は, MC は 全く 信用できないので

データ を用いる. \Rightarrow b-tag をはずした, 165,373 イベントを使う.
($S/N = 1/1,000$ ほどの 99.9% b.g.)

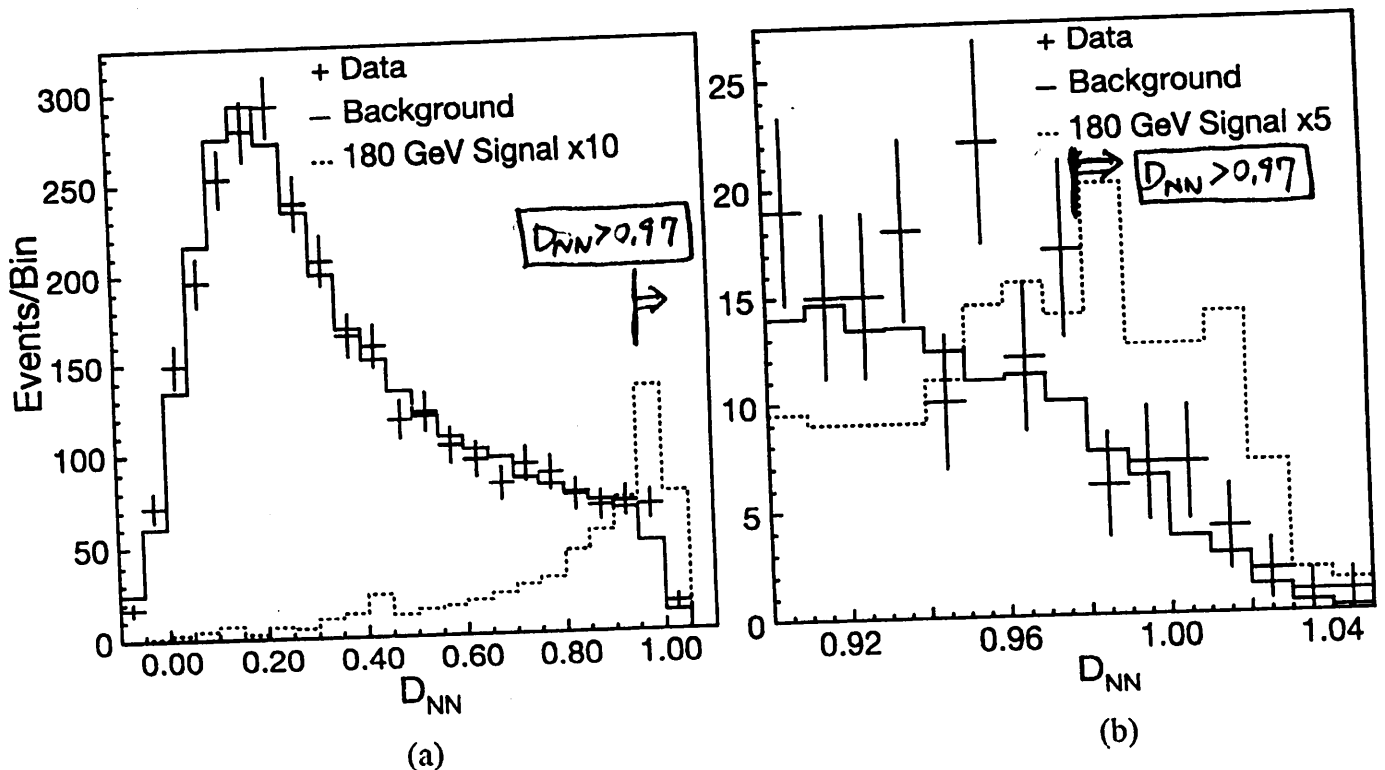
\Rightarrow 1つ1つのイベントに対し, ウェイト w_i を計算する.

$w_i =$ そのイベントが b-tag される確率

\uparrow
MC を使, て評価

\Rightarrow 165,373 イベントそれぞれに w_i をかけた分布を
加えたのが ----- の分布.

\Rightarrow Neural Net を使, て, ⑧+ の分布が, ($t\bar{t}$) だけ, DNN を計算:



$D_{NN} > 0.97$ を選ぶと, 65 イベント, ($S/N \sim 17/48 \sim 1/3$)

W_1, W_2, t_1, t_2 を次の χ^2 を最小にする解, として選ぶ:

$$\chi^2 = \left(\frac{m_{t_1} - m_{t_2}}{2 \times \sigma_t} \right)^2 + \left(\frac{m_{W_1} - m_{W_0}}{\sigma_W} \right)^2 + \left(\frac{m_{W_2} - m_{W_0}}{\sigma_W} \right)^2$$

ここで, W_1, W_2 は 2-jet の mass, t_1, t_2 は W_1, W_2 を含む 3-jet の mass,

$$m_{W_0} = 77.5 \text{ GeV}, \quad \sigma_W = 2 \text{ GeV}, \quad \sigma_{m_t} = 31 \text{ GeV} \quad \Leftarrow \text{tt MC}$$

最後に, どのように選ばれた t_1 と t_2 の mass 分布を調べる。

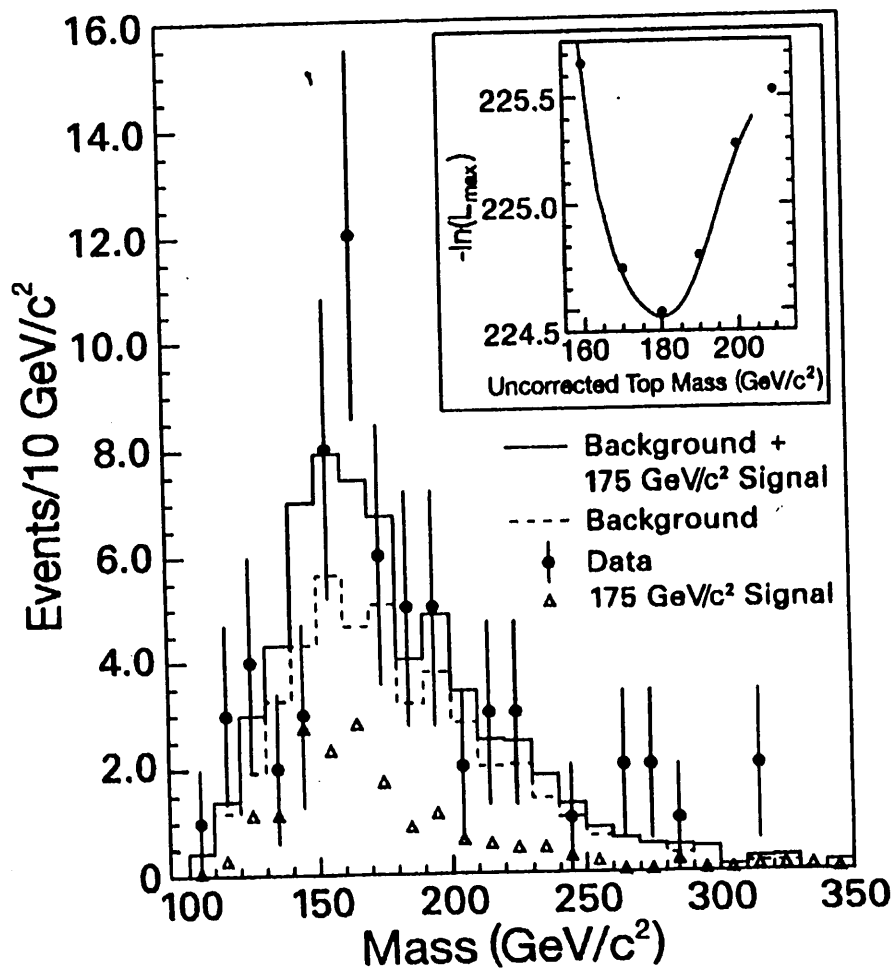


Fig. 3. Data and the sum of background and Monte Carlo signal plotted as a function of the mean mass, M . Insert is $-\ln L_{\max}$ as a function of the top quark mass.

シグナルとバックグラウンドの mass 分布がほとんど同じであることに

注目して下さい。バックグラウンドの normalization の評価の信頼性 (b-tag rate から決めた weight w_i 等, MC による評価) が重要であるように思われます。

次に, observed mass (m_{fit}) と「本当の」mass m_t との経験則

$$m_{fit} = 0.712 m_t + 53.477 \text{ GeV}$$

を用いて, 約 2.6 GeV の補正をします。これは MC。

最後に likelihood 分布から

$$m_t = 178.5 \pm 13.7 \text{ (stat)} \pm 9.7 \text{ (sys)} \text{ GeV}$$

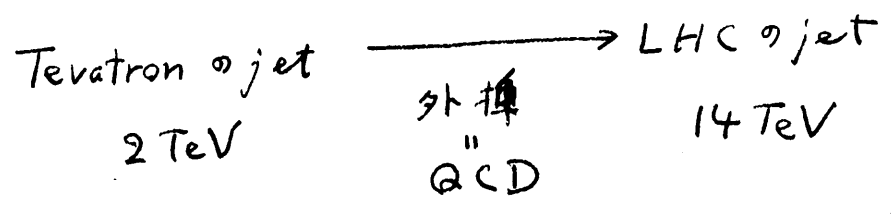
を得ます。 $\sigma_{tt}^{DB} \approx 11 \pm 5 \text{ pb}$ (17 ± 7 インチ) は $\sigma_{tt}^{QCD} = 5.6 \pm 1.4 \pm 1.2 \text{ (} m_t = 172 \text{ GeV)}$
 \downarrow
 8~9 インチの期待値。
 と 無矛盾 と結論しています。

さて質問です。

この解析で, もし, あるかじめ, t の存在と, $m_t \sim 180 \text{ GeV}$ を知っていたら, シグナルは見つかるでしょうか?

どうぞ, 私の全ての講義が終わったあとで, この問題をもう一度考えてみて下さい。LHCの物理を目指す方は 全員 例外なく, Tevatron の物理を経験することが必要です。

Tevatron のデータから、QCD ジェットについて、そして MC が いかに信用できないかを学ぶことは LHC の物理のために必要ですが、十分ではありません。



現在、MC を少しでも役に立つものにする為に多くの方々が努力をされていますが、これらの努力は基本的に、上の外挿をより QCD の基本原理に忠実に従うことで、LHC の実際の物理と、MC の予言とが かけ離れたものにならないようにという目標で行われているものです。最高の MC ができても、実際のデータとの間に、normalization はもとより、全ての分布に対し、数 10% から 100% 近くまでのずれが予想されることを覚悟しておいていただきたいと思います。この場合、実際のデータを使って MC を (場合によってはその理論的基礎までもを) 補正しなすけは いけませんが、その補正が、QCD の基本的要請に合致しないこと、次から次へと矛盾が拡大生産されていきます。「ここを直すとおちるが立たず」になってしまいます。ですから、ジェットの基本的性質を QCD のレベルで理解しておくことが重要だと思っております。

いくつかの例を考慮してみます。

$pp \rightarrow h X$
 $\hookrightarrow b\bar{b}$

h の p_T 分布 vs $b.g.$ の p_T 分布 ?

$\rightarrow j_1 j_2 h X$

$|\eta_1 - \eta_2| > \text{large gap}$

$\eta_2 < \eta_h < \eta_1$

$\eta_2 < \eta < \eta_1$ jet activity veto

$\rightarrow z^+ z^- \rightarrow l^\pm l'^\mp$
 $l^\pm \pi^\mp$
 $l^\pm (\pi^+ \pi^0)$

$\rightarrow WW^* \rightarrow l^\pm l'^\mp p_T, l^\pm p_T j j$

扇型カット (面の向き)

jet physics によって決まる resolution あり
 $(m_T \text{ peak})$ $(\pm (m_h - m_W \sim 30 \text{ GeV})$ to 3 narrow jet

$\rightarrow t \bar{t} h X$
 $\hookrightarrow b\bar{b}$

... 超困難 (!!) (challenging) 4 b-jets + $W^+ W^-$

$\rightarrow b\bar{b} h X$
 $\hookrightarrow b\bar{b}, z^+ z^-$

(large $\tan\beta$) 4 b-jets, $2b + z^+ z^-$

$\rightarrow \tilde{g} \tilde{g} X$

$\hookrightarrow \begin{cases} g \bar{g} \tilde{\chi}_i^\pm & ; \tilde{\chi}_i^\pm \rightarrow LSP + \tilde{g}'s \ \& \ \tilde{L}'s \\ g \bar{g} \tilde{\chi}_i^0 & ; \tilde{\chi}_i^0 \rightarrow LSP + \tilde{g}'s \ \& \ \tilde{L}'s \end{cases}$
 $\xrightarrow{W, Z} \tilde{L} \tilde{L}', j j$

Calibration

$l = e, \mu$ $J/\psi, \Upsilon, Z \rightarrow e^+e^-, \mu^+\mu^-$

\vec{p}_T $\epsilon \ll \sigma_{QCD}(pp \rightarrow WX) \gg \sigma_{new\ phys}(pp \rightarrow WX)$ なるには
 $W \rightarrow l\nu$ の
 $m_T = \sqrt{(|\vec{p}_{0T}| + |\vec{p}_{1T}|)^2 - (\vec{p}_{2T} + \vec{p}_{3T})^2}$ 分布の peak $\sim m_W$

E_{jet} : Jetの内容が良くわかるので、 σ_{obs} が「十分大きい」process でのかつ $S/N \sim 1$.
 $W \rightarrow j_1 j_2, Z \rightarrow j_1 j_2, t \rightarrow b j_1 j_2$ 位は「かなり」
 他の条件を満たす場合が「思」いつける。

QCD-jet を用いる (かな) のではな"か"? $pp \rightarrow j_1 j_2 X \dots$ ①
 $\rightarrow \Sigma j X \dots$ ②
 $\hookrightarrow \text{jet}$

どちらとも QCD-MC と データ を比較することになる。
 ② は P_T バランスの制限が強く 有理かも。

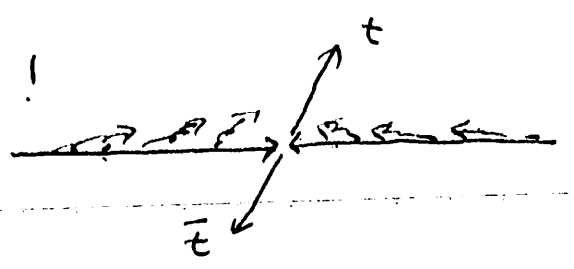
$\frac{d\sigma}{d(P_{Tj})^2}$

データ = QCD-MC を仮定すれば

$(P_T^j)_{obs}$ と $(P_T^j)_{physics}$ の関係が
 $(P_T^j)_{obs} = \dots \sim \frac{1}{4} \left(\frac{d\sigma}{d\sigma} \right)$ の精度で
 決まる。
 \Rightarrow どうやってテストするか?
 $\Rightarrow t\bar{t} \rightarrow$ 2jet 4jet で m_t が合うか?
 $\Rightarrow t\bar{t} \rightarrow$ 6jets は無理かな?

jet の P_T だけでなく { jet definition (R の値)
 親が 1 か 2 か
 等に依存するはず。
 依存性は QCD の考察で多少は予想
 できる。

QCD 効果で一番重要なのは、hard scattering scale Q が大きくなると、
 initial parton からの radiation による 'mini'-jet activity が $\ln Q$ で増大
 すること。例えは、同じ $t\bar{t}X$ でも $m(t\bar{t}) = Q$ が大きくなる LHC
 では $t\bar{t} + \text{multijet}$ が増えてほる!



更に、例えQが同じ様に思えても、

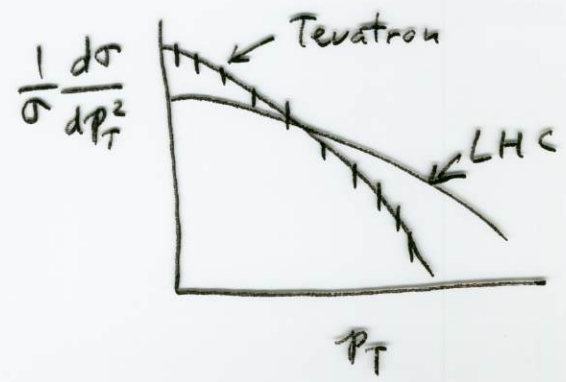
$$p\bar{p} \rightarrow Z X \text{ @ Tevatron}$$

$$pp \rightarrow Z X \text{ @ LHC}$$

$$x_1 x_2 > \left(\frac{m_Z}{\sqrt{s}}\right)^2 \sim \left(\frac{1}{20}\right)^2$$

$$x_1 x_2 > \left(\frac{m_Z}{\sqrt{s}}\right)^2 \sim \left(\frac{1}{150}\right)^2$$

phase spaceの大きなLHCでは、"X"のjet activityが大きくなると予想される。



TevatronでのZの p_T 分布は、 $\mathcal{O}(\alpha_s)$ -MCでfitされているが、

$\left. \begin{array}{l} \text{E-}\mathcal{O}(\alpha_s) \text{ の multiple soft-gluon resummation} \\ \text{と Non-perturbative \& intrinsic parton } k_T (\sim 1 \text{ GeV}) \end{array} \right\} \text{ の combination}$

↓

LHCへの外推に大きな不定性が残る。

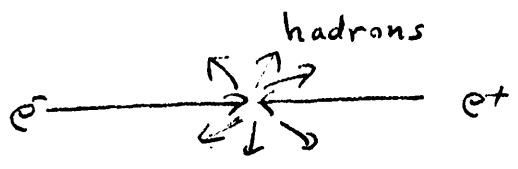
ほとんどE- $\mathcal{O}(\alpha_s)$ に依存しているが、その部分がTevatron dataで本当に再現されているのかどうか分らない。

⇒ 実際の τ - τ を用いてE- $\mathcal{O}(\alpha_s)$ -MCをtuneする必要があるだろう。

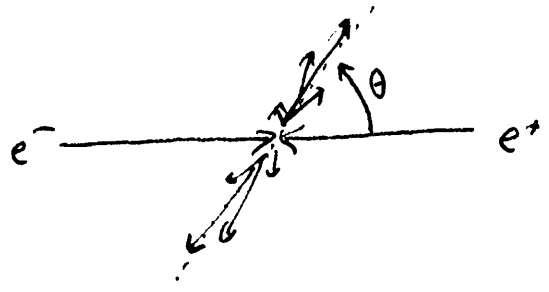


PQCDによるジェット理解 ($e^+e^- \rightarrow \text{hadrons}$)

$\sqrt{s} < 3 \text{ GeV}$ では $e^+e^- \rightarrow \text{hadrons}$ は fire "ball" みたい と言われていた。



$\sqrt{s} > 5 \text{ GeV}$ (SPEAR) で 2-jet に見え出した。



$$\frac{d\sigma}{d\cos\theta_J} \sim 1 + \cos^2\theta_J$$

あたかも spin $\frac{1}{2}$ で構造も mass も持たない $q\bar{q}$ が対称生成し、 q と \bar{q} の momentum の向きに hadron が生成されたように見えた。 $q \rightarrow \text{hadron jet}$ fragmentation

$$\text{一方 } \frac{\sigma_{\text{tot}}^{\text{had}}}{\sigma_{\text{tot}}^{\text{pt}}} = \frac{\sigma_{\text{tot}}(e^+e^- \rightarrow \text{pt}^* \rightarrow \text{hadrons})}{\sigma_{\text{tot}}(e^+e^- \rightarrow \text{pt}^* \rightarrow \mu^+\mu^-)} \approx 3 \sum_{q=u,d,s,c} (Q_q)^2$$

とほぼ合っていて、あたかもカラー自由度3を持つ、たぐひに2の半破電荷 $\frac{2}{3}$ が対称生成したかのように思われた。

この現象は QCD の Asymptotic freedom (Short Distance = SD で弱結合) とどう関係しているのか? SD dominance (LD physics の suppression) が鍵。

① $\sigma_{tot} (e^+e^- \rightarrow \text{hadrons}) \sim \sum_{\text{all hadronic final states } X} \int \left| \langle X | \dots \rangle \right|^2 d\Phi_X$

\uparrow X の phase space

$$= \sum_X \int \left(\langle X | \dots \rangle \right) d\Phi_X \left(\dots | X \rangle \right)$$

unitarity $\equiv 2 \text{Im} \langle \dots | \dots \rangle$

光学定理 (unitary S matrix) $S = 1 + iT$

$$1 = S^\dagger S = (1 - iT^\dagger)(1 + iT) = 1 - i(T^\dagger - T) + T^\dagger T$$

$$-i(T - T^\dagger) = T^\dagger T$$

$$-i \langle i | (T - T^\dagger) | i \rangle = \langle i | T^\dagger T | i \rangle = \sum_X \langle i | T^\dagger | X \rangle \langle X | T | i \rangle$$

$$-i(T_{ii} - T_{ii}^*) = \sum_X (T_{Xi})^* (T_{Xi})$$

$\sum_X |X\rangle \langle X| = 1$
 \sim phase space 積分

$$2 \text{Im} T_{ii} = \sum_X |T_{Xi}|^2$$

$$|i\rangle = |e^+e^-\rangle$$

$$|X\rangle = |\text{hadrons}\rangle$$

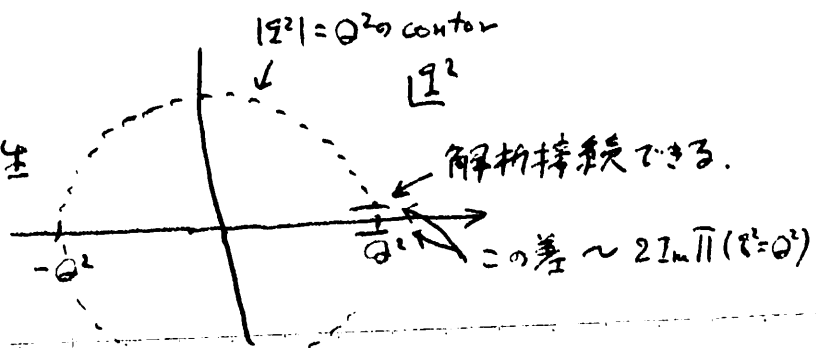
$T_{ii} \sim \pi(q^2)$ depends only on q^2

$q^2 < 0$ で $|q^2| = Q^2 \gg \Lambda_{QCD}^2$ ならば SD: $\frac{1}{Q}$ の時間しか存在できない。

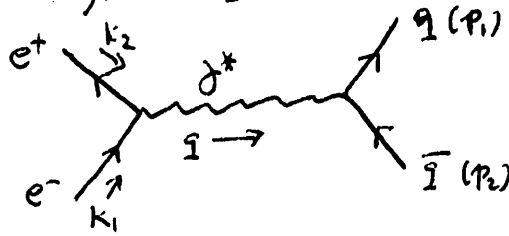
$q^2 = Q^2 > 0$ ではどうか?

$\pi(q^2)$ 関数の解析性

でも、根拠力の各次では LD 依存性が現われる... (よりに見えるが実は)

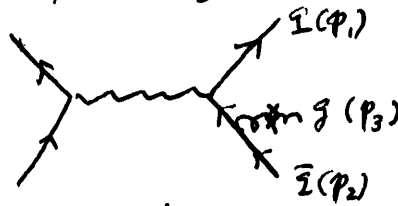


0次: $M_0 = M_0(e^+e^- \rightarrow \bar{q}q) = \bar{v}(p_2) \gamma^\mu u(k_1) \cdot \frac{1}{q^2} \bar{u}(p_1) \gamma^\nu v(p_2)$



$\sim 1 \pm \cos\theta$
 次回の講義
 で計算します。

1次: $M_1 = M_0(e^+e^- \rightarrow \bar{q}qg) = \bar{v}(k_2) \gamma^\mu u(k_1) \frac{1}{q^2} \bar{u}(p_1) \gamma^\nu \frac{p_2 + p_3}{(p_2 + p_3)^2} \gamma^\rho v(p_2) \epsilon_\rho^*(p_3)$



$\frac{1}{(p_2 + p_3)^2} = \frac{1}{2p_2 p_3} = \frac{1}{2E_2 E_3 (1 - \cos\theta_{23})} \rightarrow \infty$ $\begin{cases} E_3 \rightarrow 0 & \text{soft} \\ \cos\theta_{23} \rightarrow 1 & \text{collinear} \end{cases}$

少くも計算の練習をします。

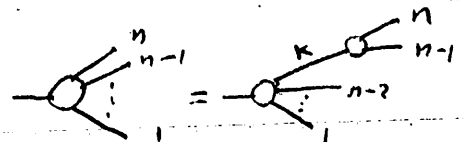
0次の cross section: $d\sigma_0 = \frac{1}{2s} \sum |M_0|^2 d\Phi_2$
 ↑ invariant flux ↑ invariant 2-body phase space

(1) $d\Phi_n = (2\pi)^4 \delta^4(q - \sum_{i=1}^n p_i) \prod_{i=1}^n \frac{d^3 p_i}{(2\pi)^3 2E_i}$
 $E_i = \sqrt{m_i^2 + \vec{p}_i^2}$
 $\int \delta(p_i^2 - m_i^2) \Theta(p_i^0) d^4 p_i = \int \delta((p_i^0 - E_i)(p_i^0 + E_i)) \Theta(p_i^0) d p_i^0 d^3 p_i = \frac{d^3 p_i}{2E_i}$

(2) $d\Phi_1 = (2\pi) \delta^4(q - p) \frac{d^3 p}{2E} = (2\pi) \delta(q^2 - m^2)$

(3) $d\Phi_n = d\Phi_{n-1} \frac{d^3 p_n}{(2\pi)^3 2E_n}$
 $q \rightarrow q - p_n$

(4) $= d\Phi_{n-1} \frac{dk^2}{2\pi} d\Phi_2(k = p_{n-1} + p_n)$
 $p_{n-1} = k$



(4) 式は n 体の phase space を $(n-1)$ 体 と 2 体の重ね合わせで表すので重要.

右辺 \rightarrow 左辺は簡単に示せるはずです. 次の変形

$$\begin{aligned} & \delta^4 \left(q - \sum_{i=1}^{n-2} p_i - k \right) \frac{d^3 k}{2E_k} d^4 k \delta^4 (k - p_{n-1} - p_n) \\ &= \delta^4 \left(q - \sum_{i=1}^{n-2} p_i - k \right) \underbrace{\delta(k^2 - (p_{n-1} + p_n)^2)}_{\rightarrow = 1} \frac{d(p_{n-1} + p_n)^2}{2E_k} \delta^4 (k - p_{n-1} - p_n) d^4 k \\ &= \delta^4 \left(q - \sum_{i=1}^n p_i \right) \end{aligned}$$

です. (2) と (3) を用いて

$$(5) \quad d\Omega_2 = (2\pi) \delta((q-p_2)^2 - m^2) \frac{d^3 p_2}{(2\pi)^3 2E_2} = \frac{1}{(2\pi)^2} \delta((q-p_2)^2 - m^2) \frac{d^3 p_2}{2E_2}$$

$$(6) \quad = \frac{1}{8\pi} \frac{2p^*}{\sqrt{s}} \frac{d\cos\theta^*}{2} \frac{d\phi^*}{2\pi} \quad \vec{p}_1^* + \vec{p}_2^* = 0 \text{ frame } \rightarrow |p_i^*| = p^*$$

(5) と (6) は共に役に立つ公式です. (6) から, massless で flat な

2 体の phase space の積分は

$$(7) \quad \int d\Omega_2 = \frac{1}{8\pi}$$

と規格化されていることが分かります. これらの式は, 次回以降

には (は) 使いますので, ~~は~~ 使わないようにして下さい.

(6) を用いると例えは

$$d\Omega_0 = \frac{1}{2s} \bar{\Sigma} |M_0|^2 \frac{1}{8\pi} \frac{d\cos\theta^*}{2} \Rightarrow \frac{d\Omega_0}{d\cos\theta^*} = \frac{1}{32\pi s} \bar{\Sigma} |M_0|^2$$

一方 $M_1 (e^+e^- \rightarrow q\bar{q})$ は $|p_3| \ll E_1, E_2$ のとき

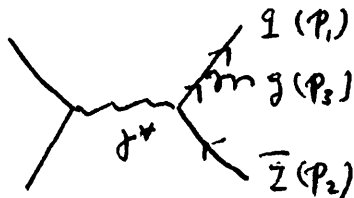
$$\begin{aligned} (\not{\epsilon}_2 + \not{\epsilon}_3) \not{\gamma}^\nu u(p_2) &\approx \not{\epsilon}_2 \not{\gamma}^\nu u(p_2) = [2p_2^\nu - \not{\gamma}^\nu \not{\epsilon}_2] u(p_2) = \not{\epsilon}_2(p_2) (2p_2^\nu) \\ \not{\epsilon}_2 u(p_2) &= 0 \quad (\text{Dirac 方程式}) \end{aligned}$$

なので

$$M_1 = \bar{v}(k_2) \gamma_\mu u(k_1) \frac{1}{q^2} \bar{u}(p_1) \gamma^\mu v(p_2) \frac{2p_2^\nu \epsilon_\nu^*(p_3)}{(p_2 + p_3)^2}$$

$$= M_0 \frac{p_2 \cdot \epsilon_3^*(p_3)}{p_2 \cdot p_3}$$

となる。 $|p_3| \ll E_1, E_2$ のとき (soft gluon), $g\bar{g}$ 振幅が θ 次
 $g\bar{g}$ 振幅と factorize するところが重要である。 もう一つの図



の寄与も足すと、

$$M_1 = M_0 \left(\frac{p_2^\nu}{p_2 \cdot p_3} - \frac{p_1^\nu}{p_1 \cdot p_3} \right) \epsilon_\nu^*(p_3)$$

となります。 g - g 不変性 ($A_\nu \rightarrow A_\nu + \partial_\nu \phi$; $\epsilon_\nu(p_3) \rightarrow \underline{p_3}_\nu + \epsilon_\nu(p_3)$
 で振幅が不変) を確認して下さい。

$$M_1 (\epsilon_\nu^*(p_3) \rightarrow p_{3\nu}) = M_0 \left(\frac{p_2^\nu}{p_2 \cdot p_3} - \frac{p_1^\nu}{p_1 \cdot p_3} \right) p_{3\nu} = 0$$

$g\bar{g}$ の cross section は

$$d\sigma_1 = \frac{1}{2s} \sum |M_1|^2 d\Phi_3$$

$$= \frac{1}{2s} \sum \left| M_0 \left(\frac{p_2^\nu}{p_2 \cdot p_3} - \frac{p_1^\nu}{p_1 \cdot p_3} \right) \epsilon_\nu^*(p_3) \right|^2 d\Phi_3$$

ここで (3) の公式

$$d\Phi_3 = \underbrace{d\Phi_2}_{q \rightarrow q-p_3 \approx q} \frac{d^3 p_3}{(2\pi)^3 2E_3} \approx d\Phi_2 \cdot \frac{E_3^2 dE_3 d\cos\theta d\phi}{16\pi^3 E_3} = d\Phi_2 \cdot \frac{E_3 dE_3 d\cos\theta}{8\pi^2}$$

$\sum_{Spin} \epsilon_{\nu}^*(p_3) \epsilon_{\nu}(p_3) = -g_{\nu\nu} + (p_{3\nu} \text{ or } p_{3\mu} \text{ terms})$
 $\rightarrow 0$ by gauge invariance

を用いて

$$d\sigma_1 \approx \frac{1}{2s} \sum |M_0|^2 d\Phi_2 \cdot \left(\frac{p_2^\nu}{p_2 \cdot p_3} - \frac{p_1^\nu}{p_1 \cdot p_3} \right) (-g_{\nu\mu}) \left(\frac{p_2^\mu}{p_2 \cdot p_3} - \frac{p_1^\mu}{p_1 \cdot p_3} \right)$$

$$\frac{1}{8\pi^2} E_3 dE_3 d\cos\theta$$

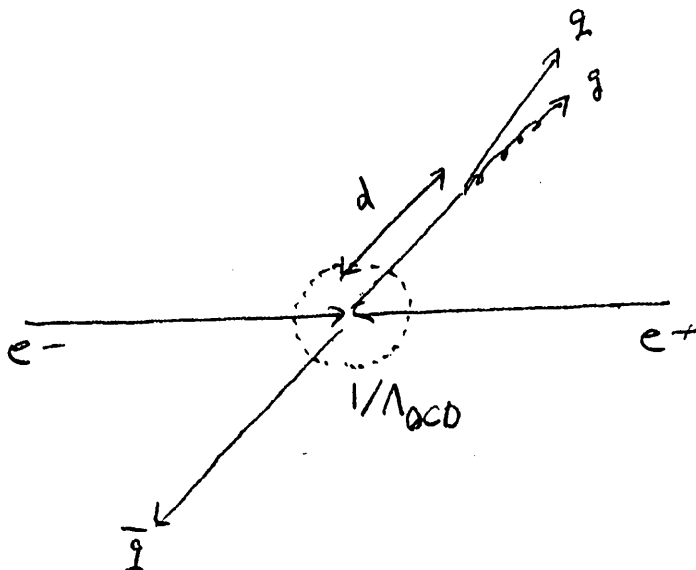
$$= d\sigma_0 \cdot \frac{2 p_1 \cdot p_2}{(p_1 \cdot p_3)(p_2 \cdot p_3)} \frac{1}{8\pi^2} E_3 dE_3 d\cos\theta$$

$$\approx d\sigma_0 \cdot \frac{4}{E_3^2 (1-\cos\theta)(1+\cos\theta)} \frac{1}{8\pi^2} E_3 dE_3 d\cos\theta$$

$$= d\sigma_0 \frac{1}{4\pi^2} \frac{dE_3}{E_3} \frac{d\cos\theta}{1-\cos\theta}$$

$\frac{dE_3}{E_3} \rightarrow \ln \frac{E}{m_g}$ (soft 発散)
 $\frac{d\cos\theta}{1-\cos\theta} \rightarrow \ln(1-\cos\theta)$ (collinear 発散)

LD (Long Distance) の物理



$$d = \frac{1}{\sqrt{(p_1+p_3)^2}} \delta\beta \approx \frac{1}{\sqrt{(p_1+p_3)^2}} \frac{\sqrt{s}/2}{\sqrt{(p_1+p_3)^2}}$$

$$= \frac{\sqrt{s}}{2 p_1 \cdot p_3}$$

$$= \frac{2E}{2E \cdot E_3 (1-\cos\theta_{13})}$$

$$= \frac{1}{E_3 (1-\cos\theta_{13})} > \frac{1}{\Lambda_{QCD}}$$

$d\sigma_1$ を見ると、大きな寄与が LD 領域にあることがわかる。

何故 σ_{total} が有限で、且つ LD 物理によるものか？

$d\sigma_1$ の LD 依存性が ループ補正 の寄与と相殺するから。
virtual gluon 補正

★ soft の相殺 ... Bloch-Nordsieck

★ collinear の相殺 ... KLN (木下 Lee Newenberg)
を金めた

↓
これが重要 \Rightarrow LD 依存性が全く無くなる。

↓
全エネルギースケールで物理が決まる。

↓
 $Q = \sqrt{s} \gg \Lambda_{QCD}$ なる PQCD.

LD 部分の寄与は、momentum space で見ると phase space が小さい
(small momentum $\sim \frac{d^3p}{E} \sim p dp \sim dp^2$) ので、振幅が大きくなる
ければ、次第に効かなくなる。

LD の寄与の相殺を見るためには、計算の中で発散が起き
ないように、正則化 (regularization) をして、3体と、2体のループ
計算をしなければならぬ。少し面倒なので、ここでは、
「相殺する」という結果を使って議論を進めます。

$$\sigma_{total} \text{ での 2体の寄与 } \left| \sum \langle \alpha \rangle + \sum \langle \beta \rangle \right|^2 = \left| \sum \langle \alpha \rangle \right|^2 + 2 \operatorname{Re} \left(\sum \langle \alpha \rangle \right) \left(\sum \langle \beta \rangle \right)^*$$

$$\text{と 3体の寄与 } \left| \sum \langle \alpha \rangle + \sum \langle \beta \rangle + \sum \langle \gamma \rangle \right|^2$$

を足し合わせることで

$$\begin{aligned} \sigma_{tot} &= \int d\Omega (2\text{体}) d\Omega_2 + \int d\Omega (3\text{体}) d\Omega_3 \\ &= \sigma_0 \left(1 + \frac{\alpha_s}{\pi} + \dots \right) \end{aligned}$$

LDの寄与が相殺し、SDの物理が支配的になり、

$\frac{\alpha_s(\theta)}{\pi}$ の振動展開が得られた。

ではツェットの断面積ではどうなるか？ KLN定理が
金庫となります。

KLN定理 ... soft, collinear を含む LD物理の寄与の発散は
全エネルギーが同じ状態を区別しない
(Energy degenerate states) 全ての物理量
に適用して成立する。

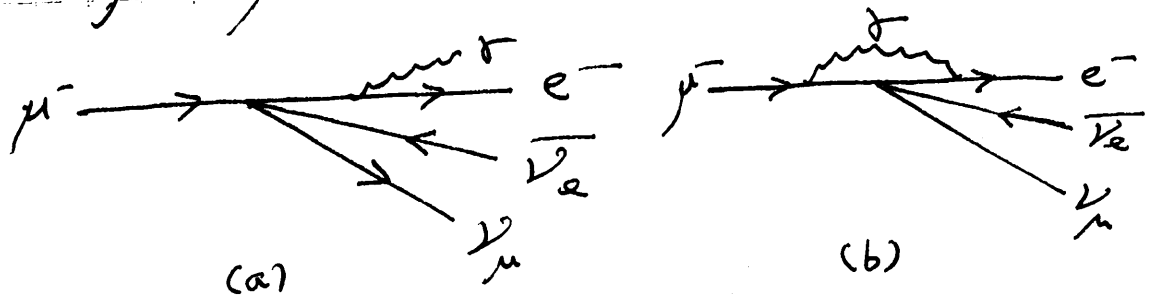
(例) ソフト

$$\begin{array}{ccc} \xrightarrow{\text{soft } g} & g & E_g + E_g = E_g \\ & & \downarrow 0 \\ & & \xrightarrow{\quad} & g \end{array}$$

collinear

$$\begin{array}{ccc} \xrightarrow{\frac{1-x}{x} g} & g & E_g + E_g = (1-x)E + xE = E \\ & & \downarrow \\ & & \xrightarrow{\quad} & g \\ & & & E \end{array}$$

木下東一郎は μ decay の輻射補正計算で



real 光子の寄与 (a) と virtual 光子の寄与 (b) のそれぞれに

$\ln \frac{m_\mu}{m_e}$ の項 ($m_e \rightarrow 0$ で発散する項) が現れるのに、

$O(\frac{\alpha}{\pi})$ の全ての輻射補正の和、 μ lifetime への補正では
この項が相殺することを発見し、ソフトな発散を ~~光子~~ 光子の
微小質量 (m_γ) で正規化したときの $m_\gamma \rightarrow 0$ の発散と合わせ、

$$\left(\ln \frac{m_\mu}{m_\gamma} + \text{const} \right) \ln \frac{m_\mu}{m_e}$$

の項全て ($m_\gamma \rightarrow 0, m_e \rightarrow 0$ の発散) が終状態を足し合わせる
inclusive 数量によって相殺することを、振動の正の次数で
QED の場合に証明した。Lee と Neumanberg は、 $m_\gamma \rightarrow 0, m_e \rightarrow 0$
の時に、エネルギー ~~の~~ の和が同じになる状態 (ソフトとコリネーション) を
足し合わせる (区別しない) 量に関して、この相殺が起きることを示した。
KLN 定理は P-QCD でも証明され、P-QCD の物理への
応用の根幹となった。

QED では $m_e = 0.5 \text{ MeV}$ が有限で、 e も γ も外に出て来る (asymptotic

state とは存在する, confine されない) ので、 $m_e \neq 0$ なるは区別できる。

$$\begin{array}{c} (1-x)E \rightarrow e \\ \text{wavy } \gamma \\ xE \end{array} \quad \text{と} \quad \begin{array}{c} E \rightarrow e \end{array}$$

でも、 e の速度は $\beta = \sqrt{1 - m^2/E^2}$ で光子の速度は 1 なので、... だけ

e は γ に置き換えては OK です。コリニアール項の積分も

$$\begin{array}{c} e(p) \\ \text{wavy } \gamma(k) \end{array} \quad \frac{1}{2\pi \cdot k} = \frac{1}{2E_e E_\gamma (1 - \beta \cos \theta)}$$

$$\begin{aligned} \text{なので} \quad \int_0^1 \frac{dx}{1 - \beta \cos \theta} &= \left[\ln \frac{1}{1 - \beta \cos \theta} \right]_0^1 = \ln \frac{1}{1 - \beta} \\ &= \ln \frac{1 + \beta}{1 - \beta^2} \approx \ln \frac{2}{m^2/E^2} = \ln \frac{2E^2}{m^2} \end{aligned}$$

となります。

QCD では $m_q = 0$ と考えても良いし、 $m_q \ll \Lambda$ なので、

$(q + \bar{q})$ 系の不変質量、collinear な場合は横運動量方向の質量が

$$\begin{array}{c} q \\ \text{wavy } g \\ \bar{q} \end{array} \quad \begin{array}{c} \uparrow p_T \\ \downarrow p_T \end{array} \quad 2p_T \lesssim \Lambda \quad (p_T \lesssim \Lambda \text{ でも良いです})$$

のとき、 $q + \bar{q}$ は q と区別できなく、てしるわけです。

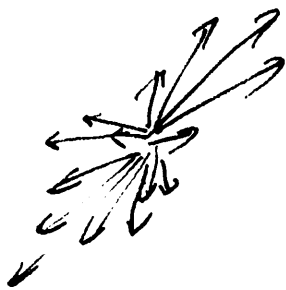
そこで $\frac{1}{\Lambda}$ がハドロンのはかりと考えると良いかも知れません。

$\Lambda \sim 500 \text{ MeV}$ 程度と仮定すると、様々な現象を「量的に」と見る

ことができます。

Jet cross section

これまでの議論で、コリニア-ソフトな $(g+g)$ 対を g と、 $(g+g)$ 対を g と区別しな量は、LD 依存性 ($\ln \frac{E}{\Lambda}$ 項) が相殺し、高エネルギー ($E \gg \Lambda$) で SD の物理 ($\frac{1}{E}$) が支配的になる。P-QCD で記述可能になることがわかります。コリニア-ソフトの対を区別しなことは、一般的に、次の様なクラスターアルゴリズムで実現できます。



$\{\vec{p}_i\}$ のセットを考える。 $i=1, \dots, n$ とする。

$\vec{p}_i \cdot \vec{p}_j = m_{ij}$ とし、 $\min\{m_{ij}\} < \sqrt{s} \gamma$ だとする

$\vec{p}_i + \vec{p}_j = \vec{p}_{ij}$ とし、 $n-1$ 個の残りのセットは $2n-2$ 個になる。

$\min\{m_{ij}\} > \sqrt{s} \gamma$ になると、終了です。

$\gamma \gg 1$ だと、 n の $n+1$ (1+0) が最後で残り n

$\gamma \ll 1$ だと、 $\#(27329-) \sim \#(37329-) \sim \dots \sim \#(57329-)$

$\gamma < 1$ だと、 $\#(27329-) \gg \#(37329-) \gg \#(47329-)$

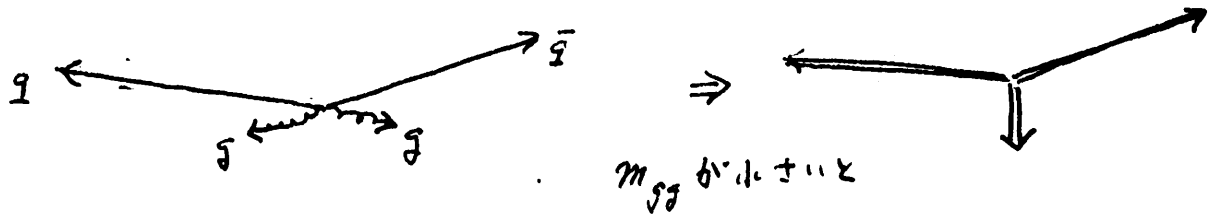
$$1 : \frac{1}{n} : \left(\frac{1}{n}\right)^2$$

$\gamma = 1$ だと、全てが足らなくて全断面積です。

この cluster algorithm でできた momentum のクラスターを QCD-Jet と呼びます。

QCD-Jet はエネルギー和が同じ内部構造を区別せず、P-QCD で計算可能です。

(注) $\vec{p}_i \cdot \vec{p}_j = m_{ij}$ によるクラスタ化は、エネルギーが同じなのだから、
 \wedge のスケール
 $\vec{p}_i \cdot \vec{p}_j = 0$ (ソフトもコリニアも) のときに起きることに注目したもので
 すが、次の様な欠点があります。



このため、LD物理に少しひん感で、P-QCD展開の収束が悪くなり、実験との比較もエラーが大きくなります。

改良案は
$$Y_{ij} = 2 \min(E_i^2, E_j^2) (1 - \cos\theta_{ij})$$

を用いることで、K_T-algorithm 又は Durham algorithm と呼ばれます。

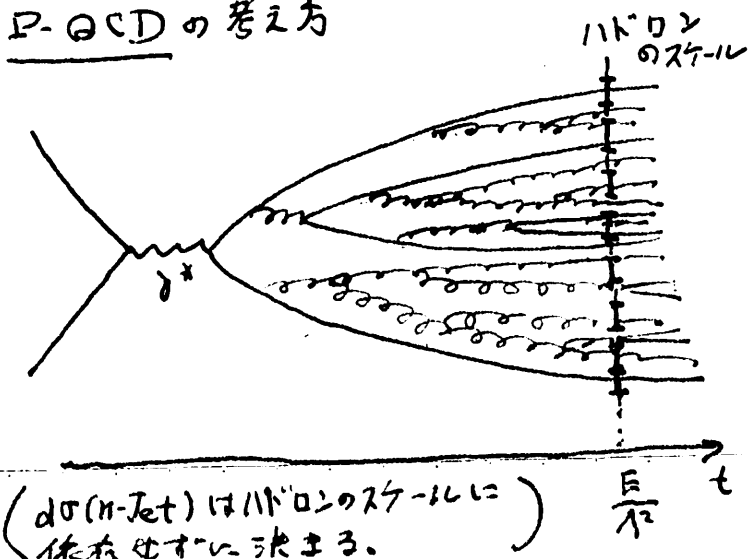
m_{ij} 法は不測のエラーを導きますので、必ず、 Y_{ij} を用いるようにして下さい。

最後に、

ハドロンのは $\{p_i\}$ が3つ作れた $d\sigma(n\text{-Jet})_{\text{hadrons}}$ 二 クォーク、グルオンの $\{p_i\}$ が3つ作れた $d\sigma(n\text{-Jet})_{\text{P-QCD}}$	$\sigma_{\text{tot}}^{\text{hadrons}}$ 二 $\sigma_{\text{tot}}^{\text{partons}}$
---	---

↑ ↑
比較に良く考えて下さい。

P-QCD の考え方



大昔のパートン模型の考え方

